

Paraconsistência e Computação Quântica

Walter Carnielli

Centro de Lógica, Epistemologia e História da Ciência –
CLE Departamento de Filosofia - IFCH UNICAMP



SQLG- Security and Quantum Information Group, IT-
Lisboa

< WECIQ | 2010 >

- 1 Motivações
- 2 Modelos de computação clássicos
- 3 Modelos de computação quânticos
- 4 Máquinas de Turing Paraconsistentes
- 5 Relações entre MTQs e MTPs/MTPNSs
- 6 Circuitos Paraconsistentes
- 7 Relações entre circuitos quânticos e paraconsistentes
- 8 Comentários referentes a não-localidade
- 9 Conclusões



- 1 Motivações
- 2 Modelos de computação clássicos
- 3 Modelos de computação quânticos
- 4 Máquinas de Turing Paraconsistentes
- 5 Relações entre MTQs e MTPs/MTPNSs
- 6 Circuitos Paraconsistentes
- 7 Relações entre circuitos quânticos e paraconsistentes
- 8 Comentários referentes a não-localidade
- 9 Conclusões



Versão forte da Tese de Church-Turing: todo modelo ‘razoável’ de computação calcula, em tempo equivalente, a mesma classe de funções que podem ser calculadas por máquinas de Turing determinísticas.

Os modelos de **computação quântica** representam o maior desafio para a Versão forte da Tese de Church-Turing.

Questões:

- Qual é a lógica subjacente aos modelos de computação quântica?
- Noções lógicas podem ser úteis no total entendimento da computação quântica?



As **máquinas de Turing** são equivalentes (quanto à computabilidade e complexidade algorítmica) às **famílias uniformes de circuitos Booleanos**, e podem ser axiomatizadas em FOL.

O modelo de **circuitos Booleanos** é baseado na **lógica clássica**.

A **lógica subjacente** aos **modelos de computação clássicos** (equivalentes à máquina de Turing) é a **lógica clássica**.

Questões:

- É possível definir modelos de computação baseados em lógicas não-clássicas?
- Há vantagens em modelos de computação baseados em lógicas não-clássicas?



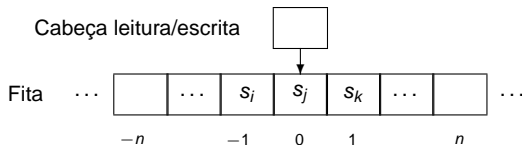
Sumário

- 1 Motivações
- 2 Modelos de computação clássicos**
- 3 Modelos de computação quânticos
- 4 Máquinas de Turing Paraconsistentes
- 5 Relações entre MTQs e MTPs/MTPNSs
- 6 Circuitos Paraconsistentes
- 7 Relações entre circuitos quânticos e paraconsistentes
- 8 Comentários referentes a não-localidade
- 9 Conclusões



UNICAMP

Máquinas de Turing (MTs)



- Instruções: (I) $q_i s_j s_k q_l$, (II) $q_i s_j R q_l$, (III) $q_i s_j L q_l$.
- Duas instruções são **ambíguas** se coincidem nos dois símbolos iniciais.
- Uma máquina de Turing é **determinística** (MTD) se não têm instruções ambíguas, caso contrario é **não-determinística** (MTND).
- As MTNDs são mais eficientes do que as MTDs? (**P =? NP**)



Definição

Um **circuito booleano** é uma coleção finita de **variáveis de entrada** e **portas lógicas** conectadas de maneira direcionada e acíclica, onde as variáveis de entrada tomam valores em $\{0, 1\}$ e cada porta calcula uma operação booleana (usualmente AND, OR ou NOT).

- Circuitos booleanos computam funções da forma $f: \{0, 1\}^n \rightarrow \{0, 1\}^m$ (com tamanho da entrada n fixo).
- Para computar uma função com tamanho da entrada variável deve-se definir uma **família uniforme** de circuitos booleanos.



Sumário

- 1 Motivações
- 2 Modelos de computação clássicos
- 3 Modelos de computação quânticos**
- 4 Máquinas de Turing Paraconsistentes
- 5 Relações entre MTQs e MTPs/MTPNSs
- 6 Circuitos Paraconsistentes
- 7 Relações entre circuitos quânticos e paraconsistentes
- 8 Comentários referentes a não-localidade
- 9 Conclusões



Máquinas de Turing quânticas (MTQs)

Generalização das MTs considerando os **elementos da máquina** (símbolos nas células da fita, estado e posição da máquina) como sendo **observáveis** de um sistema microscópico (Deutsch, 1985):

- Uma MTQ pode estar num **estado superposto**, que é uma superposição linear de estados de MTs clássicas.
- A evolução da máquina é descrita através de um **operador unitário**.
- Os estados superpostos e a linearidade dos operadores unitários permitem processamento em paralelo: **paralelismo quântico**.
- No final da computação deve ser realizada uma **medição**, obtendo-se um único elemento da superposição de maneira **probabilística**.
- O paralelismo pode ser aproveitado através da **interferência quântica**.



Computações em modelos de computação não-determinísticos são usualmente representadas através de **árvores** onde os **nós** representam **configurações da máquina** e as **arestas** representam **transições entre configurações**.

- Nas **MTNDs** uma computação específica corresponde a **um caminho** da árvore.
- Nas **MTQs** uma única computação percorre **todos os caminhos simultaneamente**. Diferentes caminhos podem interferir (construtiva ou destrutivamente).



Generalização do modelo de circuitos booleanos através das leis da mecânica quântica (Deutsch, 1989):

- Os valores de entrada/saída são vetores unitários num espaço de estados bidimensional (chamados **qubits**). Um qubit pode estar numa superposição dos estados $|0\rangle$ e $|1\rangle$ (**estados superpostos**).
- As portas são **operadores unitários**.
- Os estados superpostos e a linearidade dos operadores de evolução permitem **processamento em paralelo**.
- No final da computação deve ser realizada uma **medição**, obtendo-se um resultado de maneira **probabilística**.
- O paralelismo pode ser aproveitado através da **interferência quântica**.



MARCOS DA COMPUTAÇÃO QUÂNTICA

- 1982, Richard Feynman: propôs que efeitos quânticos poderiam oferecer algo realmente novo em computação
- 1985, David Deutsch: primeiro modelo teórico da Máquina de Turing Quântica mostrando que qualquer processo físico poderia ser modelado por um computador quântico.
- 1989, David Deutsch: introduziu o modelo de circuitos quânticos.

MARCOS DA COMPUTAÇÃO QUÂNTICA

- 1993, Charles Bennett e pesquisadores da IBM: teleportação é possível, desde que se destrua a amostra original.
- 1996, Lov K. Grover: proposta de um algoritmo quântico para busca em bancos de dados, quadraticamente mais rápido que os análogos clássicos.
- 1998, Isaac Chuang: desenvolvimento do primeiro computador quântico de 1 q-bit
- 2001, IBM: computador quântico de 7q-bits que fatora o número 15 usando o algoritmo de Shor

O Computador Quântico - O bit quântico (q-bit)

- A Mecânica Quântica “mora” no Espaço de Hilbert que é um espaço vetorial dotado de um produto interno chamado norma.
- Agora teremos estados quânticos para representar os bits e portanto o chamaremos **q-bit**. Os valores 0 e 1 serão substituídos pelos **vetores** $|0\rangle$ e $|1\rangle$ representados por

$$|0\rangle = \begin{bmatrix} 1 \\ 0 \end{bmatrix} \quad \text{e} \quad |1\rangle = \begin{bmatrix} 0 \\ 1 \end{bmatrix}.$$

- Grande diferença! Agora podemos ter um q-bit genérico $|\psi\rangle$ resultado da combinação linear dos estados $|0\rangle$ e $|1\rangle$

$$|\psi\rangle = \alpha |0\rangle + \beta |1\rangle \tag{1}$$

- α e β são números complexos.

O Computador Quântico - O bit quântico (q-bit)

- Os vetores $|0\rangle$ e $|1\rangle$ formam uma base ortonormal do espaço vetorial \mathbb{C}^2 . Base computacional.
- $|\psi\rangle$ é chamado de **superposição** dos vetores da base com amplitudes α e β .
- $|\psi\rangle$ está simultaneamente nos estados $|0\rangle$ e $|1\rangle$!!!!
- Podemos armazenar uma quantidade de informação infinita em $|\psi\rangle$!! Essa informação está no mundo quântico.
- Para trazê-la ao mundo clássico precisamos fazer uma medida. A medida altera o estado do q-bit!!
- Teremos então:
 - $|0\rangle$ com probabilidade $|\alpha|^2$;
 - $|1\rangle$ com probabilidade $|\beta|^2$.
- α e β não podem ser conhecidos através de uma medida. Além disso

$$|\alpha|^2 + |\beta|^2 = 1 \quad (2)$$

O Computador Quântico - O bit quântico (q-bit)

Há duas interações básicas de um computador quântico com os dados de entrada:

- Transformação unitária - evolução temporal atua no nível quântico, não temos acesso! Qualquer matriz unitária de ordem 2×2 pode ser usada! É um processo **reversível**.
- Medida. Faz a ligação entre o mundo quântico e clássico!
- Como fazer para aproveitarmos toda essa informação armazenada em um q-bit?

O Computador Quântico - Produto tensorial

Se quisermos tratar de sistemas de mais de um q-bit temos que introduzir o conceito de **produto tensorial**. Sejam dois estados

$$|\psi\rangle = \begin{bmatrix} \psi_1 \\ \psi_2 \\ \vdots \\ \psi_m \end{bmatrix} \quad \text{e} \quad |\varphi\rangle = \begin{bmatrix} \varphi_1 \\ \varphi_2 \\ \vdots \\ \varphi_p \end{bmatrix}, \quad (6)$$

O produto tensorial entre eles resultará no vetor $|\chi\rangle = |\psi\rangle \otimes |\varphi\rangle$ com mp -linhas. Também podemos usar as seguintes notações para o produto tensorial $|\psi\rangle \otimes |\varphi\rangle$, $|\psi\rangle |\varphi\rangle$, $|\psi, \varphi\rangle$ e $|\psi\varphi\rangle$.

O Computador Quântico - Produto tensorial

$$|\chi\rangle = \begin{bmatrix} \psi_1\varphi_1 \\ \psi_1\varphi_2 \\ \vdots \\ \psi_1\varphi_p \\ \psi_2\varphi_1 \\ \psi_2\varphi_2 \\ \vdots \\ \psi_2\varphi_p \\ \vdots \\ \psi_m\varphi_1 \\ \psi_m\varphi_2 \\ \vdots \\ \psi_m\varphi_p \end{bmatrix}, \quad (7)$$

onde $\psi_i\varphi_j$ é o produto usual dos números complexos.

O Computador Quântico - Produto tensorial

Veamos alguns exemplos:

$$|01\rangle = |0\rangle \otimes |1\rangle = \begin{bmatrix} 1 \\ 0 \end{bmatrix} \otimes \begin{bmatrix} 0 \\ 1 \end{bmatrix} = \begin{bmatrix} 0 \\ 1 \\ 0 \\ 0 \end{bmatrix}$$

e

$$|10\rangle = |1\rangle \otimes |0\rangle = \begin{bmatrix} 0 \\ 1 \end{bmatrix} \otimes \begin{bmatrix} 1 \\ 0 \end{bmatrix} = \begin{bmatrix} 0 \\ 0 \\ 1 \\ 0 \end{bmatrix}.$$

O produto tensorial **não** é comutativo!

O Computador Quântico - Produto tensorial

Podemos generalizar o produto tensorial para matrizes quaisquer. Sejam as matrizes $A \in \mathbb{C}^{m \times n}$ e $B \in \mathbb{C}^{p \times q}$, a matriz $A \otimes B \in \mathbb{C}^{mp \times nq}$ é dada por:

$$A \otimes B = \begin{bmatrix} A_{11}B & A_{12}B & \cdots & A_{1n}B \\ A_{21}B & A_{22}B & \cdots & A_{2n}B \\ \vdots & \vdots & \ddots & \vdots \\ A_{m1}B & A_{m2}B & \cdots & A_{mn}B \end{bmatrix}, \quad (8)$$

onde A_{ij} é o elemento da coluna i e linha j da matriz A .

O Computador Quântico - Produto tensorial

Exemplo:

$$A = \begin{bmatrix} 0 & 1 \\ 1 & 0 \end{bmatrix} \quad \text{e} \quad B = \begin{bmatrix} 1 & 0 & 0 \\ 0 & 1 & 0 \\ 0 & 0 & 1 \end{bmatrix},$$

então

$$A \otimes B = \begin{bmatrix} 0 & 1 \\ 1 & 0 \end{bmatrix} \otimes \begin{bmatrix} 1 & 0 & 0 \\ 0 & 1 & 0 \\ 0 & 0 & 1 \end{bmatrix} = \begin{bmatrix} 0 & 0 & 0 & 1 & 0 & 0 \\ 0 & 0 & 0 & 0 & 1 & 0 \\ 0 & 0 & 0 & 0 & 0 & 1 \\ 1 & 0 & 0 & 0 & 0 & 0 \\ 0 & 1 & 0 & 0 & 0 & 0 \\ 0 & 0 & 1 & 0 & 0 & 0 \end{bmatrix}$$

O Computador Quântico - 2 q-bits

Seja $|\psi\rangle$ o estado genérico de 2 q-bits. Ele será uma superposição dos estados $|00\rangle$, $|01\rangle$, $|10\rangle$ e $|11\rangle$, isto é,

$$|\psi\rangle = \alpha |00\rangle + \beta |01\rangle + \gamma |10\rangle + \delta |11\rangle, \quad (10)$$

onde

$$|\alpha|^2 + |\beta|^2 + |\gamma|^2 + |\delta|^2 = 1.$$

Podemos tentar simplificar a notação considerando os zeros e uns que aparecem nos vetores, $|00\rangle$, $|01\rangle$, $|10\rangle$ e $|11\rangle$ como números binários e escrevê-los em sua notação decimal

$$|0\rangle, |1\rangle, |2\rangle \quad \text{e} \quad |3\rangle.$$

O Computador Quântico - 2 q-bits

Em geral, um estado de n q-bits é uma superposição dos 2^n estados da base computacional $\{|0\rangle, |1\rangle, \dots, |2^n - 1\rangle\}$, dada por

$$|\psi\rangle = \sum_{i=0}^{2^n-1} \alpha_i |i\rangle, \quad (11)$$

e as amplitudes α_i obedecendo à conservação de probabilidade

$$\sum_{i=0}^{2^n-1} |\alpha_i|^2 = 1. \quad (12)$$

O Computador Quântico - Emaranhamento

Um estado de 2 q-bits pode ou não ser o resultado do produto tensorial de 2 estados de 1 q-bit! Sejam dois estados de 1 q-bits

$$|\varphi\rangle = a|0\rangle + b|1\rangle$$

e

$$|\psi\rangle = c|0\rangle + d|1\rangle,$$

onde a, b, c e $d \in \mathbb{C}$. Então

$$\begin{aligned} |\varphi\rangle \otimes |\psi\rangle &= (a|0\rangle + b|1\rangle) \otimes (c|0\rangle + d|1\rangle) \\ &= ac|00\rangle + ad|01\rangle + bc|10\rangle + bd|11\rangle. \end{aligned} \quad (13)$$

Temos então que um estado de 2 q-bits genérico (10) só é da forma (13) se, e somente se,

$$\alpha = ac,$$

$$\beta = ad,$$

$$\gamma = bc,$$

$$\delta = bd.$$

O Computador Quântico - Emaranhamento

Dessas relações de igualdade, temos que

$$\frac{\alpha}{\beta} = \frac{c}{d} \quad \text{e} \quad \frac{\gamma}{\delta} = \frac{c}{d}.$$

Portanto,

$$\alpha\delta = \beta\gamma. \tag{14}$$

Em geral, um estado de 2 q-bits **não** é o produto tensorial de dois q-bits!! Um estado de 2 q-bits é dito estado **emaranhado** quando este estado não pode ser escrito como produto tensorial de dois estados de 1 q-bit.

O Computador Quântico - Emaranhamento

Vejam os:

$$|01\rangle = \begin{bmatrix} 0 \\ 1 \\ 0 \\ 0 \end{bmatrix} = \begin{bmatrix} 1 \\ 0 \end{bmatrix} \otimes \begin{bmatrix} 0 \\ 1 \end{bmatrix}.$$

Já o estado

$$|\zeta\rangle = \begin{bmatrix} 0 \\ 1 \\ 1 \\ 0 \end{bmatrix}$$

é um estado **emaranhado**, pois não pode ser escrito como produto de dois q-bits.

Exercício: Prove que $|\zeta\rangle$ é um estado emaranhado!

O Computador Quântico - Produtos interno e externo

O produto interno entre dois estados $|\varphi\rangle$ e $|\psi\rangle \in \mathbb{C}^n$ é denotado por $\langle\varphi|\psi\rangle$ e definido como sendo o produto matricial entre $|\varphi\rangle^\dagger$ e $|\psi\rangle$, isto é,

$$\langle\varphi|\psi\rangle = (|\varphi\rangle)^\dagger |\psi\rangle = \sum_{i=1}^n \varphi_i^* \psi_i. \quad (15)$$

Propriedades:

- 1 $\langle\varphi|\psi\rangle = \langle\psi|\varphi\rangle^*$,
- 2 $\langle\psi|(a|u\rangle + b|v\rangle)\rangle = a\langle\psi|u\rangle + b\langle\psi|v\rangle$,
- 3 $\langle\psi|\psi\rangle > 0$, se $|\psi\rangle \neq 0$,

com $a, b \in \mathbb{C}$ e $|\psi\rangle, |\varphi\rangle, |u\rangle, |v\rangle \in \mathbb{C}^n$.

Exercício: Demonstre as propriedades acima!

Circuitos Quânticos - Porta NOT Quântica

- No caso clássico a porta NOT troca 0 por 1 e vice versa;
- No caso quântico temos o operador (transformação linear unitária) X
 - $X |0\rangle = |1\rangle$
 - $X |1\rangle = |0\rangle$
- Sua representação matricial é dada por

$$\begin{bmatrix} 0 & 1 \\ 1 & 0 \end{bmatrix}.$$

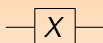


Figura: Porta X (NOT quântica).

Exercício: Prove que o operador X é unitário.

Circuitos Quânticos - Porta NOT Quântica

Situação sem contrapartida no caso clássico!

Seja o estado

$$|\psi\rangle = \alpha |0\rangle + \beta |1\rangle,$$

aplicando o operador X a saída será

$$X|\psi\rangle = X\alpha |0\rangle + X\beta |1\rangle = \alpha |1\rangle + \beta |0\rangle.$$

As probabilidades foram trocadas!!!

Circuitos Quânticos - Porta Hadamard

Esta é uma porta muito utilizada.

$$H = \frac{1}{\sqrt{2}} \begin{bmatrix} 1 & 1 \\ 1 & -1 \end{bmatrix}.$$

- $H|0\rangle = \frac{1}{\sqrt{2}}(|0\rangle + |1\rangle)$
- $H|1\rangle = \frac{1}{\sqrt{2}}(|0\rangle - |1\rangle)$

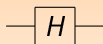


Figura: Porta Hadamard.

Exercício: Prove que a porta H é unitária.

Circuitos Quânticos - Porta Hadamard

$$\begin{aligned}H^{\otimes 2} |00\rangle &= H|0\rangle \otimes H|0\rangle \\&= \left(\frac{1}{\sqrt{2}}(|0\rangle + |1\rangle) \right) \otimes \left(\frac{1}{\sqrt{2}}(|0\rangle + |1\rangle) \right) \\&= \frac{1}{2}(|00\rangle + |01\rangle + |10\rangle + |11\rangle).\end{aligned}$$

Em notação decimal,

$$H^{\otimes 2} |00\rangle = \frac{1}{2}(|0\rangle + |1\rangle + |2\rangle + |3\rangle).$$

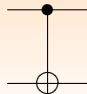
Generalizando para estados com n q-bits, obtemos:

$$\begin{aligned}H^{\otimes n} |0 \dots 0\rangle &= (H|0\rangle)^{\otimes n} \\&= \left(\frac{1}{\sqrt{2}}(|0\rangle + |1\rangle) \right)^{\otimes n} \\&= \frac{1}{\sqrt{2^n}} \sum_{i=0}^{2^n-1} |i\rangle.\end{aligned}$$

Circuitos Quânticos - Porta CNOT Quântica

Podemos usar as diversas portas de 1 q-bit para transformar o estado $|0\dots\rangle$ de n q-bits em qualquer estado do tipo $|\psi_1\rangle|\psi_2\rangle\dots|\psi_n\rangle$, onde cada um desses $|\psi_i\rangle$ é uma superposição arbitrária $\alpha|0\rangle + \beta|1\rangle$. Mas todos estes estados são do tipo produto, ou seja, não emaranhados. Para obtermos estados emaranhados precisamos de portas que atuem sobre os múltiplos q-bits.

- 2 q-bits de entrada **controle** e **alvo**;
- Se o bit de controle está no estado $|1\rangle$ ela é ativada caso contrário não;
- Os bits alvo e controle podem estar superpostos ou emaranhados.
- **A porta CNOT é universal.** Qualquer operador unitário pode ser representado usando portas CNOT e portas de um q-bit.



$$\begin{array}{l} |00\rangle \rightarrow |00\rangle \\ |01\rangle \rightarrow |01\rangle \\ |10\rangle \rightarrow |11\rangle \\ |11\rangle \rightarrow |10\rangle \end{array}$$

Circuitos Quânticos - Porta Toffoli Quântica

Esta é uma porta controlada por dois q-bits

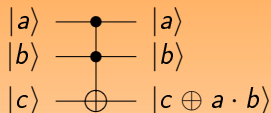


Figura: Porta Toffoli Quântica.

Sua ação na base computacional pode ser representada por:

$$|i, j, k\rangle \rightarrow |i, j, k \oplus ij\rangle, \quad (18)$$

onde $i, j \in \{0, 1\}$ e \oplus é a adição módulo 2. A base computacional possui 8 elementos. Em geral ela é muito utilizada para simplificar a representação de circuitos quânticos.

Circuitos Quânticos - Porta Toffoli Quântica

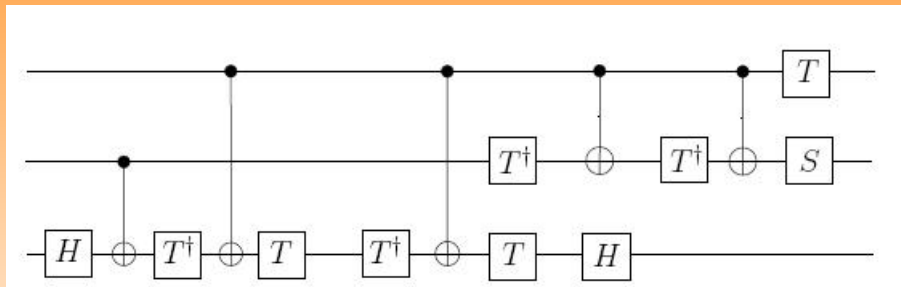


Figura: Decomposição da porta Toffoli em portas de 1 q-bit e portas CNOT.

Circuitos Quânticos - Paralelismo Quântico

Uma operação quântica é sempre unitária e portanto reversível. Então, um computador quântico precisa de dois registradores para realizar uma computação:

- Um registrador para guardar o estado de entrada;
- Um registrador para guardar o estado de saída.

A computação de uma função f é determinada por uma operação unitária U_f que deve atuar sobre os dois registradores preservando a entrada e efetuando a operação no segundo.

$$U_f |x\rangle |y\rangle = |x\rangle |y \oplus f(x)\rangle. \quad (19)$$

Se $y = 0$, então,

$$U_f |x\rangle |0\rangle = |x\rangle |0 \oplus f(x)\rangle = |x\rangle |f(x)\rangle. \quad (20)$$

Circuitos Quânticos - Paralelismo Quântico

Suponha agora que preparamos um registrador com m q-bits no estado $|\psi\rangle$ de superposição igualmente distribuída e um registrador com n q-bits no estado $|0\rangle$

$$|\psi\rangle |0\rangle = \frac{1}{\sqrt{2^m}} \sum_{x=0}^{2^m-1} |x\rangle |0\rangle.$$

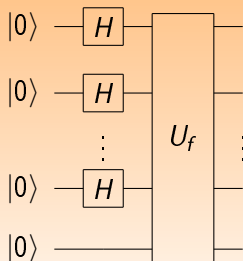


Figura: Circuito que calcula o valor de f para todos os valores de x .

Circuitos Quânticos - Paralelismo Quântico

Aplicando U_f a este estado obtemos:

$$\begin{aligned}U_f |\psi\rangle |0\rangle &= U_f \left(\frac{1}{\sqrt{2^m}} \sum_{x=0}^{2^m-1} |x\rangle |0\rangle \right) \\&= \frac{1}{\sqrt{2^m}} \sum_{x=0}^{2^m-1} U_f |x\rangle |0\rangle \\&= \frac{1}{\sqrt{2^m}} \sum_{x=0}^{2^m-1} |x\rangle |f(x)\rangle.\end{aligned}\tag{21}$$

Este circuito realiza o cálculo de todos os 2^m valores $f(0), f(1), \dots, f(2^m - 1)$ ao mesmo tempo com uma única aplicação da operação unitária U_f . Este é o **Paralelismo Quântico**.

Exemplos de portas quânticas

- **Hadamard (H)**: serve para criar estados superpostos.

$$H = \begin{bmatrix} \frac{1}{\sqrt{2}} & \frac{1}{\sqrt{2}} \\ \frac{1}{\sqrt{2}} & -\frac{1}{\sqrt{2}} \end{bmatrix} \quad \begin{array}{l} |0\rangle \mapsto \frac{1}{\sqrt{2}} (|0\rangle + |1\rangle) \\ |1\rangle \mapsto \frac{1}{\sqrt{2}} (|0\rangle - |1\rangle) \end{array}$$

- **Negação (X)**: inverte os valores da base.

$$X = \begin{bmatrix} 0 & 1 \\ 1 & 0 \end{bmatrix} \quad \begin{array}{l} |0\rangle \mapsto |1\rangle \\ |1\rangle \mapsto |0\rangle \end{array}$$

- **Negação controlada (X_c)**: nega o segundo qubit se o primeiro é 1.

$$X_c = \begin{bmatrix} 1 & 0 & 0 & 0 \\ 0 & 1 & 0 & 0 \\ 0 & 0 & 0 & 1 \\ 0 & 0 & 1 & 0 \end{bmatrix} \quad \begin{array}{l} |0,0\rangle \mapsto |0,0\rangle \\ |0,1\rangle \mapsto |0,1\rangle \\ |1,0\rangle \mapsto |1,1\rangle \\ |1,1\rangle \mapsto |1,0\rangle \end{array}$$

- **Toffoli (T)**: negação duplamente controlada.

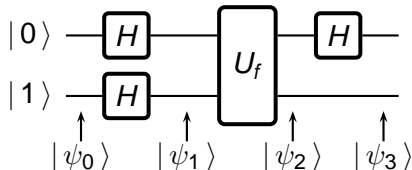


- Algoritmo de **Deutsch**: determina se uma função $f: \{0, 1\} \rightarrow \{0, 1\}$ é **constante** ou **balanceada**, usando uma chamada ao oráculo que computa f .
- Algoritmo de **Deutsch-Josza**: generaliza o algoritmo anterior para funções $f: \{0, 1\}^n \rightarrow \{0, 1\}$.
- Algoritmo de **Simon**: determina o **período de uma função** $f: \{0, 1\}^n \rightarrow \{0, 1\}^n$ tal que, para todo $x \neq x'$, $f(x) = f(x')$ se e somente se $x' = x \oplus s$, com um número polinomial de portas.
- Algoritmo de **Shor**: permite **fatorar números inteiros** com um número polinomial de portas.
- Algoritmo de **Grover**: permite **encontrar um dado**, numa base de dados desordenada, com um número $O(\sqrt{n})$ de portas.



Algoritmo de Deutsch

$$U_f |x, y\rangle = |x, y \oplus f(x)\rangle$$



$$|\psi_0\rangle = |0, 1\rangle$$

$$|\psi_1\rangle = \frac{1}{\sqrt{2}} (|0, 0\rangle - |0, 1\rangle + |1, 0\rangle - |1, 1\rangle)$$

$$|\psi_2\rangle = \frac{1}{\sqrt{2}} (|0, 0 \oplus f(0)\rangle - |0, 1 \oplus f(0)\rangle + |1, 0 \oplus f(1)\rangle - |1, 1 \oplus f(1)\rangle)$$

$$|\psi_3\rangle = \begin{cases} \pm |0\rangle \otimes \left(\frac{1}{\sqrt{2}} (|0\rangle - |1\rangle) \right) & \text{se } f(0) = f(1), \\ \pm |1\rangle \otimes \left(\frac{1}{\sqrt{2}} (|0\rangle - |1\rangle) \right) & \text{se } f(0) \neq f(1). \end{cases}$$



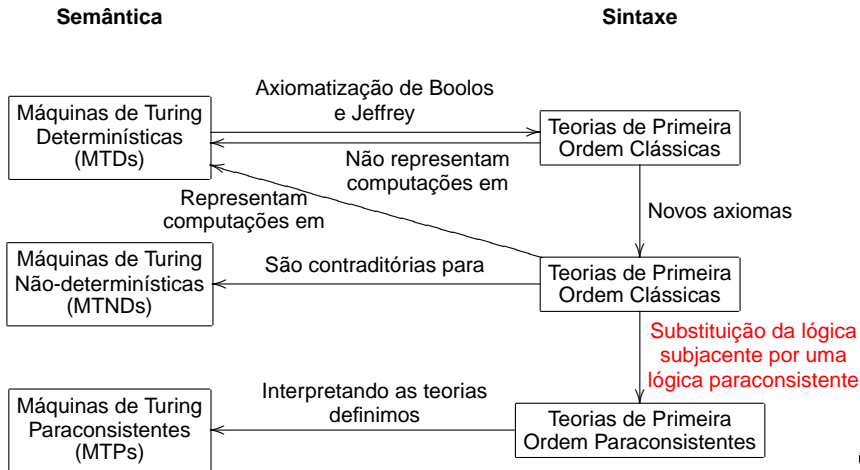
- As primeiras portas H geram um estado superposto.
- A porta U_f computa $f(0)$ e $f(1)$ em paralelo.
- A ultima porta H gera interferência, de tal maneira que o primeiro qubit fica em $|0\rangle$ se $f(0) = f(1)$ ou fica em $|1\rangle$ em caso contrario.
- Na medição do primeiro qubit obtém-se 0 (com probabilidade 1) se $f(0) = f(1)$ ou 1 (com probabilidade 1) em caso contrario.



- 1 Motivações
- 2 Modelos de computação clássicos
- 3 Modelos de computação quânticos
- 4 Máquinas de Turing Paraconsistentes**
- 5 Relações entre MTQs e MTPs/MTPNSs
- 6 Circuitos Paraconsistentes
- 7 Relações entre circuitos quânticos e paraconsistentes
- 8 Comentários referentes a não-localidade
- 9 Conclusões



Definindo as Máquinas de Turing Paraconsistentes



Máquinas de Turing Paraconsistentes (MTPs): definidas através da lógica $LF1^*$, lógica paraconsistente de primeira ordem na hierarquia de Lógicas da Inconsistência Formal (LFIs).

Definição

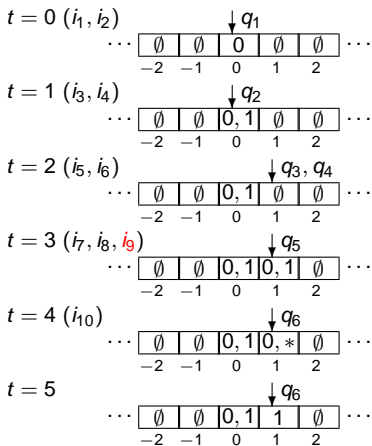
Uma **MTP** é uma MTND tal que:

- As **instruções ambíguas são executadas simultaneamente**, gerando multiplicidade de símbolos em células da fita, e multiplicidade de estados ou posições da máquina.
- Permite adicionar **condições de inconsistência** (ou multiplicidade) nos primeiros dois símbolos da instrução: q^\bullet (resp. s^\bullet) significa que a instrução é executada somente se o estado (resp. o símbolo lido) é múltiplo.



Exemplo MTP

Exemplo: seja \mathcal{M} uma MTP com instruções: $i_1: q_1 0 0 q_2$, $i_2: q_1 0 1 q_2$, $i_3: q_2 0 R q_3$, $i_4: q_2 1 R q_4$, $i_5: q_3 \emptyset 0 q_5$, $i_6: q_4 \emptyset 1 q_5$, $i_7: q_5 0 0 q_6$, $i_8: q_5 1 0 q_6$, $i_9: q_5 0^* * q_6$ and $i_{10}: q_6 * 1 q_6$.



Exemplo MTP

A máquina \mathcal{M} pode ser interpretada da seguinte maneira:

- As instruções i_1 e i_2 geram uma **multiplicidade** de símbolos na posição 0 da fita.
- As instruções i_3 a i_6 **computam** a função identidade (para os valores 0 e 1 **em paralelo**)
- As instruções i_7 a i_{10} determinam, fazendo uso de **condições de inconsistência** nas instruções, se o valor obtido é múltiplo ou não.

Considerando as instruções i_3 a i_6 como sendo um oráculo, tais instruções poderiam computar qualquer outra função

$f: \{0, 1\} \rightarrow \{0, 1\}$, portanto \mathcal{M} é uma **solução paraconsistente para o problema de Deutsch**.



***Do not let any contradiction stop
you, and truth will appear ...***

**“Eliminate all other factors, and the one
which remains must be the truth”**

Sir A. Conan Doyle, “The sign of Four”

How to take profit of a contradiction?

- Finance authorities are happy to find a contradiction in your IRS statements...
- Police investigation too;
“Have you and your friend been in the same place last week ?”
- Only if contradiction appears, we can be *sure* to have received wrong information from one of your sources!

Contradiction
*Antinomy (such as
Russell's)*

≠

Inconsistency
*Paradox (such as
Curry's)*

Inconsistency: $\circ \alpha$ as imaginary numbers

Softened hermemeutics

- $\alpha \wedge \neg \alpha$ can be seen as true
- $(\alpha) \cdot (-\alpha) = 1 \Rightarrow \alpha^2 = -1 \Rightarrow \alpha = \pm \sqrt{-1}$
- view $\circ \alpha$ (α is consistent) as “ $\alpha \in \mathfrak{R}$ ” and there is *no* solution
- view $\bullet \alpha$ (α is inconsistent) as “ $\alpha \notin \mathfrak{R}$ ” and there are *two* solutions

LFI's very quickly

- **LFI's are non-explosive:**
 $\alpha, \neg\alpha \not\vdash \beta$, but yet are
- ***finitely gently explosive:***
 - $\alpha, \alpha, \neg\alpha \vdash \beta$, for all β ;

What is the meaning?

- α is a “safe” or “uncontroversial” statement, which cannot support contradictions

The scope of negation

- $\alpha = \text{"}n \text{ is an odd number"}$

Negation as “**hard**”: From $\alpha, \neg\alpha \vdash \beta$, all β because “*odd number*” is an uncontroversial predicate: so $\circ\alpha$ holds, and we are in the case $\circ\alpha, \alpha, \neg\alpha \vdash \beta$, all β

- $\alpha \text{"}n \text{ is a big number"}$

Negation as “**soft**” $\alpha, \neg\alpha \not\vdash \beta$ for all β because “*big number*” is controversial, unsafe, debatable!

What do we gain?

- LFI's separate **contradictoriness** $\{\alpha, \neg\alpha\}$, from **inconsistency** $\bullet\alpha$
- non-consistency $\neg\circ\alpha$ from inconsistency $\bullet\alpha$
- **non-inconsistency** $\neg\bullet\alpha$ from **consistency** $\circ\alpha$;
- LFIs do *not* validate contradictions or invalidate the 'Principle of Non-Contradiction' ("there are non-contradictory theories").

The basic logic of (in)consistency: *bc*

bc: add to \mathbf{C}_{min} a new rule, realizing the Gentle Principle of Explosion:

(bc1) $\circ \alpha, \alpha, \neg\alpha \vdash_{bc} \beta.$

- If α is consistent and contradictory, then it explodes'
- Contradiction \neq inconsistency

Ci: a stronger LFI

***Ci* = *bC* + the axiom:**

- $\alpha \vdash (\alpha \wedge \neg \alpha)$,
- (defining $\bullet \alpha =_{\text{def}} \neg \circ \alpha$).

Now, In *Ci*, inconsistency and contradiction *are* equivalent: we had before $(\alpha \wedge \neg \alpha) \vdash_{bC} \neg \circ \alpha$

Nice properties of C_i

- $\circ\alpha, \bullet\alpha \vdash_{C_i} \beta;$
- $\circ\alpha, \neg\circ\alpha \vdash_{C_i} \beta;$
- $\bullet\alpha, \neg\bullet\alpha \vdash_{C_i} \beta$
- $\vdash_{C_i} \circ\circ\alpha$

Any classical reasoning can be simulated within C_i (and bC)!!

In C_i we can recover “classical negation”
defined as $\sim\alpha =_{\text{def}} \neg\alpha \wedge \circ\alpha$, or $\dot{\sim}\alpha =_{\text{def}} \alpha \rightarrow (\alpha \wedge \sim\alpha)$

Thus Classical Logic can be “simulated” inside C_i
by means of $\wedge, \vee, \rightarrow$ and \sim (or $\dot{\sim}$)

C_i is a subclassical logic, but PC can be translated inside C_i (and also in the weaker bC)

As MTPs permitem um certo tipo de paralelismo, porém:

Teorema

Toda *MTP* pode ser *simulada em tempo polinomial* por uma *MTD*.

As MTPs (definidas usando a lógica $LF1^*$) não apresentam vantagens quanto à computabilidade e complexidade algorítmica em relação aos modelos de computação clássicos. Contudo, permitem **dequantizar** o algoritmo de Deutsch.



MTPs Não-Separáveis (MTPNSs): definido usando um fragmento da lógica modal S5, com **negação paraconsistente** ($\neg_{\diamond} A \stackrel{\text{def}}{=} \diamond \neg A$) e **conjunção não-separável** ($A \wedge_{\diamond} B \stackrel{\text{def}}{=} \diamond(A \wedge B)$).

Definição

Uma **MTPNS** é uma MTND tal que:

- quando alcança uma configuração ambígua, com n possíveis instruções a executar, a **máquina se divide em n cópias**, executando uma instrução diferente em cada cópia.
- Permite adicionar **condições de inconsistência**: q^{\bullet} (resp. s^{\bullet}) significa que a instrução é executada somente se o estado (resp. o símbolo lido) é diferente em diferentes cópias da máquina.



Uma MTPNS pode ser vista como uma MTND onde todos os caminhos de computação são executados simultaneamente e onde podem ser executadas instruções levando em consideração configurações em caminhos diferentes.

Teorema

SAT pode ser computado em *tempo polinomial*, de maneira determinística, por uma *MTPNS*.

Se $\mathbf{P} \neq \mathbf{NP}$, então a complexidade algorítmica é relativa a lógica.



Sumário

- 1 Motivações
- 2 Modelos de computação clássicos
- 3 Modelos de computação quânticos
- 4 Máquinas de Turing Paraconsistentes
- 5 Relações entre MTQs e MTPs/MTPNSs**
- 6 Circuitos Paraconsistentes
- 7 Relações entre circuitos quânticos e paraconsistentes
- 8 Comentários referentes a não-localidade
- 9 Conclusões



- Situações de **multiplicidade** (que correspondem a **inconsistências**) nas MTPs podem ser vistas como **estados superpostos uniformes**.
- Os **algoritmos de Deutsch e Deutsch-Josza** podem ser ‘simulados’ por MTPs, preservando eficiência.
- As MTPs **não** permitem uma representação direta de **estados emaranhados** (i.e. estados onde valores de diferentes elementos estão correlacionados, como é o caso do estado $|\psi\rangle = \frac{1}{\sqrt{2}}(|0,0\rangle + |1,1\rangle)$).
- As MTPs **não** permitem uma representação direta da noção de **fase relativa**.



- As MTPNSs se aproximam mais às MTQs: permitem uma representação direta de **estados emaranhados**.
- As MTPNSs também **não** permitem uma representação direta da noção de **fase relativa**.
- O mecanismo provido pelas MTPNSs para aproveitar o paralelismo (as **condições de consistências nas instruções**) parece ser mais eficiente do que o mecanismo provido pelas MTQs (a **interferência quântica**).



- 1 Motivações
- 2 Modelos de computação clássicos
- 3 Modelos de computação quânticos
- 4 Máquinas de Turing Paraconsistentes
- 5 Relações entre MTQs e MTPs/MTPNSs
- 6 Circuitos Paraconsistentes**
- 7 Relações entre circuitos quânticos e paraconsistentes
- 8 Comentários referentes a não-localidade
- 9 Conclusões



- Generalizar os circuitos booleanos para lógicas finitamente valoradas é simples: valores de entrada/saída correspondem aos valores de verdade e as portas realizam as funções associadas aos conectivos lógicos.
- Como generalizar para lógicas **não caracterizáveis por matrizes finitas** (como é o caso de varias lógicas paraconsistentes)? Quais seriam os valores de entrada? Quais seriam as operações das portas?



- O **Cálculo de Anéis de Polinômios (CAP)** consiste basicamente em traduzir fórmulas de uma lógica em polinômios com coeficientes num corpo finito (ou corpo de Galois), e realizar deduções através de operações sobre esses polinômios.
- Através da introdução de **variáveis ocultas** podem ser definidos CAPs para lógicas não-caracterizáveis por matrizes finitas, como é o caso da lógica paraconsistente **mbC** e a lógica modal **S5**.



Definição

Seja L uma lógica provida de CAP sobre um corpo F . Um **L-circuito** é uma coleção finita de variáveis de entrada e portas lógicas conectadas de maneira direcionada e acíclica, onde as **variáveis de entrada tomam valores em F** e cada **porta calcula o polinômio associado ao conetivo no CAP**.

- **Variáveis ocultas** podem ser introduzidas por conetivos lógicos.
- As variáveis ocultas produzem **indeterminismo**, mesmo que as entradas sejam determinísticas.
- O indeterminismo pode ser usado para simular certo tipo de **processamento em paralelo**.



mbC-circuitos:

- Permitem trocar variáveis de entrada por variáveis ocultas, dando a possibilidade de **traduzir computações determinísticas a não-determinísticas** sem considerar entradas aleatórias.
- Não existe nenhum tipo de correlação entre variáveis.

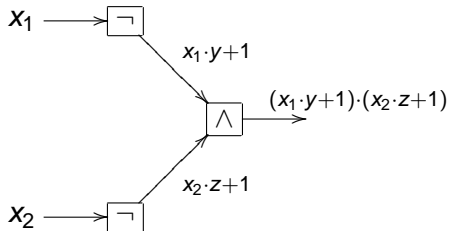
S5-circuitos:

- Existem fortes correlações entre diferentes variáveis que permitem determinar a **satisfatibilidade** de fórmulas de CPL com um **número polinomial de portas**.
- Num **fragmento paraconsistente** de *S5* a satisfatibilidade de fórmulas de CPL com um número polinomial de portas é ainda possível.



Exemplo de *mbC*-circuito

mbC-circuito correspondente à fórmula $\neg p_1 \wedge \neg p_2$ (y e z são variáveis ocultas)



x_1	x_2	$\neg x_1$	$\neg x_2$	$\neg x_1 \wedge \neg x_2$
0	0	1	1	1
0	1	1	$z + 1$	$z + 1$
1	0	$y + 1$	1	$y + 1$
1	1	$y + 1$	$z + 1$	$(y + 1) \cdot (z + 1)$



- 1 Motivações
- 2 Modelos de computação clássicos
- 3 Modelos de computação quânticos
- 4 Máquinas de Turing Paraconsistentes
- 5 Relações entre MTQs e MTPs/MTPNSs
- 6 Circuitos Paraconsistentes
- 7 Relações entre circuitos quânticos e paraconsistentes**
- 8 Comentários referentes a não-localidade
- 9 Conclusões



- O indeterminismo introduzido pelas **variáveis ocultas** nos *L*-circuitos pode ser usado para simular o indeterminismo nos CQs.
- A **porta de Hadamard** pode ser parcialmente simulada pela **porta de negação** nos *mbC*-circuitos e pela **porta de inconsistência** no fragmento paraconsistente dos *S5*-circuitos.
- **Relações entre variáveis algébricas** podem ser usadas para representar **estados emaranhados**.
- O **paralelismo** pode ser obtido através do **indeterminismo controlado**.



Sumário

- 1 Motivações
- 2 Modelos de computação clássicos
- 3 Modelos de computação quânticos
- 4 Máquinas de Turing Paraconsistentes
- 5 Relações entre MTQs e MTPs/MTPNSs
- 6 Circuitos Paraconsistentes
- 7 Relações entre circuitos quânticos e paraconsistentes
- 8 Comentários referentes a não-localidade**
- 9 Conclusões



Modelos de computação não-local

- No modelo de **MTs clássicas** todas as operações são realizadas de maneira **local** (a execução de uma instrução só pode mudar o símbolo na posição atual).
- Os **estados emaranhados** da mecânica quântica permitem certo tipo de **ação a distância**, portanto, os **modelos de computação quântica** podem ser considerados intrinsecamente **não-locais**.
- O modelo de **MTPNS** permite representar estados emaranhados, pode portanto também ser considerado um modelo de computação **não-local**.
- **L-circuitos** com variáveis ocultas correlacionadas também podem ser legitimamente considerados como modelos de computação **não-local**.



- 1 Motivações
- 2 Modelos de computação clássicos
- 3 Modelos de computação quânticos
- 4 Máquinas de Turing Paraconsistentes
- 5 Relações entre MTQs e MTPs/MTPNSs
- 6 Circuitos Paraconsistentes
- 7 Relações entre circuitos quânticos e paraconsistentes
- 8 Comentários referentes a não-localidade
- 9 Conclusões**



- Propomos noções lógicas para interpretar propriedades quânticas: **estados superpostos** correspondem a **estados inconsistentes** e **estados emaranhados** correspondem a **conjunções não-separáveis**.
- Mostramos como alguns algoritmos quânticos podem ser **dequantizados**.
- Abrimos um caminho para interpretar **circuitos quânticos** através das **variáveis ocultas** intruduzidas por **conetivos não-classicos**.
- **MTPNS** e **L-circuitos** são modelos abstratos que permitem estudar, desde um ponto de vista lógico, as características da **computação não-local**.



REFERÊNCIAS

Paraconsistent Machines and their Relation to Quantum Computing. Juan C. Agudelo; Walter Carnielli
Journal of Logic and Computation 20(2):573-595,2010.
doi: [10.1093/logcom/exp072](https://doi.org/10.1093/logcom/exp072)

Introdução à Computação Quântica. Amanda Castro Oliveira;
Renato Portugal. LNCC/MCT, slides de mini-curso, 28 a
31/01/2008
www.lncc.br/pdf_consultar.php?id_arquivo=2445&mostrar=1

Introduction to the logics of formal inconsistency and possible-translations semantics: A tutorial
Walter Carnielli, Slides- IRIT- LILAC, May 2010, TOulouse.

A Taxonomy of C-Systems. W.A. Carnielli; João Marcos
In: Paraconsistency-the logical way the inconsistent, Lecture
Notes in Pure and Applied Mathematics, Vol. 228, pp. 01-94
2002. (Eds. W.A. Carnielli, M. E. Coniglio and I.M.L.
D'Ottaviano) Marcel Dekker, New York.

Pre-print available from CLE e-Prints

http://www.cle.unicamp.br/e-prints/abstract_5.htm

Logics of Formal Inconsistency. W.A. Carnielli, M.E. Coniglio
and J. Marcos. HANDBOOK OF PHILOSOPHICAL LOGIC, 2nd
edition, 14, p.15-107 (Eds. D. Gabbay and F. Guenther),
Springer, 2007.

Pre-print available from IST server

<http://www.cs.math.ist.utl.pt/ftp/pub/MarcosJ/03-CCM-lfi.pdf>